

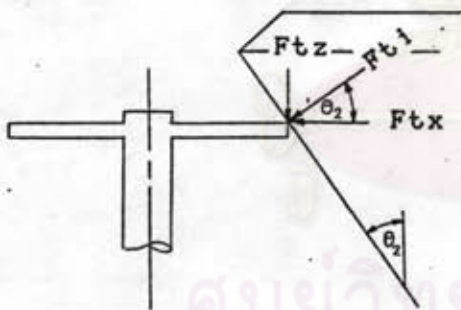


การวิเคราะห์ปัญหาที่ใช้ในการออกแบบ

เพื่อให้การออกแบบเครื่องเซาะร่องเม็ตพลอย และการทดลองเซาะร่องเม็ตพลอยมีข้อมูลพื้นฐานในการดำเนินการ จึงได้ทำการวิเคราะห์ปัญหาที่ใช้ในการออกแบบโดยอาศัยขนาดจริงของล้อยินเจียรไนและขนาดโดยประมาณของเม็ตพลอยเป็นหลัก เพื่อคำนวณหาความเร็วป้อนตัด ค่าความเร็วรอบ และกำลังในการเซาะร่อง

2.1 การวิเคราะห์ทางคณิตศาสตร์

จากรูปที่ 2.1 จะเห็นว่าในการเจียรไนเซาะร่องเม็ตพลอยจะมีแรงที่กระทำกับล้อยินเจียรไนคือ  $F_{ti}$  ซึ่งแยกเป็นองค์ประกอบตามแนวตั้งและแนวนอนคือ  $F_{tz}$  และ  $F_{tx}$



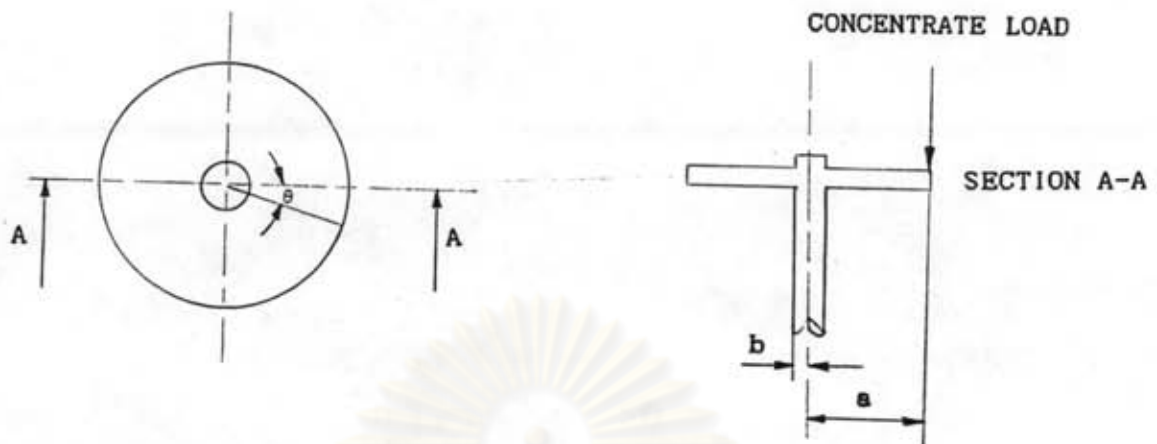
$F_{ti}$  = แรงที่กระทำกับชิ้นงาน (พลอย)

$F_{tx}$  = แรงที่กระทำในแนวรัศมีกับล้อยินเจียรไน

$F_{tz}$  = แรงที่กระทำในแนวตั้ง

รูปที่ 2.1 ทิศทางของแรงต่างๆที่กระทำกับล้อยินเจียรไน

จากรูปจะเห็นว่าแรง  $F_{tz}$  เป็นแรงที่กระทำให้ล้อยินเจียรไนเกิดการโค้งงอได้และเนื่องจากล้อยินเจียรไนมีขนาดบางมากประมาณ 0.15 มม. และมีเส้นผ่านศูนย์กลางประมาณ 22 มม. ดังนั้นในการวิเคราะห์ปัญหาค่าความโค้งงอของใบที่เกิดขึ้นจึงสมมติให้ ล้อยินเจียรไน มีลักษณะและคุณสมบัติของเพลท (plate) เนื่องจากเพลทมีขนาดเส้นผ่านศูนย์กลาง 22.4 มม. เข้าตัดเฉือนชิ้นงานซึ่งมีขนาดโดยเฉลี่ยประมาณ 2 - 3 มม. และเพลทเข้าตัดชิ้นงานมีความลึกลงน้อยมากนั่นเอง ประมาณ 0.2 - 0.3 มม. ดังนั้นแรงที่กระทำจึงประมาณให้อยู่ในรูปของแรงที่กระทำเป็นจุด (concentrate load) กระทำที่ขอบของเพลท



รูปที่ 2.2 เพลทที่ถูกกระทำโดยแรงที่กระทำเป็นจุดกระทำที่ขอบของเพลท

การวิเคราะห์ปัญหาทางคณิตศาสตร์นั้นจะใช้ทฤษฎีของเพลท (Timoshenko and Wainowsky, 1959) สร้างสมการดิฟเฟอเรนเชียลขึ้น เพื่อใช้ในการวิเคราะห์ค่าความโค้งงอที่เกิดขึ้น

2.1.1 สมการการโค้งงอของเพลท (Equation for Deflection of Plate)  
สมมติฐานที่ใช้ในทฤษฎีของเพลท

1. ไม่มีการเปลี่ยนรูปของระนาบตรงกลางของเพลทซึ่งระนาบนี้ก็คือ neutral ของเพลทระหว่างที่มีโมเมนต์ดัดมากระทำ
2. ทิศทางของแรงที่กระทำกับเพลทยังคงตั้งฉากกับเพลท หลังจากที่มีแรงมากระทำให้เกิดการบิดงอขึ้นแล้ว
3. ความเค้นในแนวตั้งฉากกับเพลท ในทิศทางตรงกันข้ามกับแรงที่กระทำกับเพลทไม่พิจารณา
4. ค่าความโค้งงอที่เกิดขึ้นมีค่าน้อยเมื่อเทียบกับความหนาของเพลท ทำให้ไม่คิดผลของความเครียดที่เกิดขึ้นระหว่างที่มีโมเมนต์ดัดมากระทำ
5. การใช้งานของเพลทอยู่ในช่วง elasticity

จากทฤษฎีของเพลท (Timoshenko and Wainowsky, 1959) ค่าความโค้งงอของเพลททางกลมที่มีแรงที่กระทำด้านข้างกระทำอยู่หาได้จากสมการ

$$\Delta \Delta W = \left( \frac{\partial^2}{\partial r^2} + \frac{1}{r} \frac{\partial}{\partial r} + \frac{1}{r^2} \frac{\partial^2}{\partial \theta^2} \right) \left( \frac{\partial^2 W}{\partial r^2} + \frac{1}{r} \frac{\partial W}{\partial r} + \frac{1}{r^2} \frac{\partial^2 W}{\partial \theta^2} \right) = \frac{q}{D} \quad (2.1.1)$$

- เมื่อ  $W$  = ค่าความโค้งงอ  
 $q$  = แรงที่กระจายบนเพลทที่กระทำในทิศทางลง  
 $D$  = flexural rigidity  
 $= Eh^3 / 12(1 - \nu^2)$   
 $E$  = โมดูลัสยืดหยุ่น  
 $\nu$  = อัตราส่วนโพซอง

เนื่องจากในกรณี ที่ทำการพิจารณานี้ ไม่มี แรงที่กระจายบนเพลทดังนั้น  $q=0$   
 สมการเขียนได้ใหม่เป็น

$$\left( \frac{\partial^2}{\partial r^2} + \frac{1}{r} \frac{\partial}{\partial r} + \frac{1}{r^2} \frac{\partial^2}{\partial \theta^2} \right) \left( \frac{\partial^2 W}{\partial r^2} + \frac{1}{r} \frac{\partial W}{\partial r} + \frac{1}{r^2} \frac{\partial^2 W}{\partial \theta^2} \right) = 0 \quad (2.1.2)$$

โดยที่คำตอบของสมการจะอยู่ในรูปของ อนุกรมฟูเรียร์ ดังนี้

$$W = R_0 + \sum_{m=1}^{\infty} R_m \cos(m\theta) \quad (2.1.3)$$

เมื่อ  $R_0 = A_0 + B_0 r^2 + C_0 \log r + D_0 r^2 \log r \quad (2.1.4)$

$$R_1 = A_1 r + B_1 r^3 + C_1 r^{-1} + D_1 r \log r \quad (2.1.5)$$

$$R_m = A_m r^m + B_m r^{-m} + C_m r^{m+2} + D_m r^{-m+2} \quad (2.1.6)$$

โดยมี Boundary Conditions ดังนี้

ที่ inner boundary

$$(W)_{r=b} = 0, \quad \left( \frac{\partial W}{\partial r} \right)_{r=b} = 0 \quad (a)$$

และที่ outer boundary จะมีแรงที่กระทำเป็นจุดกระทำอยู่ซึ่งค่าโมเมนต์ตัด

$$(Mr)_{r=a} = 0 \quad (b)$$



และ แรงเฉือน จะมีค่า

$\infty$

$$(V)_{r=a} = \frac{Ftz \cdot (1 + \epsilon \cdot \cos(m\theta))}{\pi \cdot a^2 \quad m=1} \quad (c)$$

เมื่อ  $Ftz =$  แรงที่กระทำเป็นจุดกระทำที่ปลายของเพลท

สมการ  $a, b, c$  เป็น boundary conditions ทั้งหมดที่ใช้ในการหาค่าคงที่ของสมการ (2.1.3...2.1.6)

แทนค่า boundary conditions ต่างๆลงในสมการที่ (2.1.3...2.1.6) ทำการแก้สมการดังกล่าว ซึ่งวิธีการแก้สมการแสดงอยู่ในภาคผนวก ก. คำตอบที่ได้เขียนอยู่ในรูปของ Simultaneous Equations ได้ดังนี้

$$\begin{bmatrix} 1 & b^2 & \log b & b^2 \log b \\ 0 & 2b & 1/b & (2b \log b + b) \\ 0 & 2D(1+\nu) & D(\nu-1)/a^2 & D(2 \log a + 3 + (2 \log a + 1)) \\ 0 & 0 & 0 & 1 \end{bmatrix} \begin{bmatrix} A_0 \\ B_0 \\ C_0 \\ D_0 \end{bmatrix}$$

=

$$\begin{bmatrix} 0 \\ 0 \\ 0 \\ 0 \\ -\frac{Ftz}{\pi 8D} \end{bmatrix}$$

(2.1.7)

$$\cos\theta \begin{bmatrix} b & b^3 & 1/b & b \log b \\ 1 & 3b^2 & -1/b^2 & (\log b + 1) \\ 0 & \gamma(\sqrt{2a+6a}) & 2D(1-\gamma)/a^3 & D(1+\gamma)/a \\ 0 & -D(2\gamma+6) & -(1-\gamma)2D/a^4 & D(3-\gamma)/a^2 \end{bmatrix} \begin{bmatrix} A_1 \\ B_1 \\ C_1 \\ D_1 \end{bmatrix}$$

$$= \begin{bmatrix} 0 \\ 0 \\ 0 \\ \frac{Ftz(1 + \cos\theta)}{\pi \cdot a^2} \end{bmatrix} \quad (2.1.8)$$

ศูนย์วิทยทรัพยากร  
จุฬาลงกรณ์มหาวิทยาลัย

$$\cos m\theta (b^m A_m + b^{-m} B_m + b^{m+2} C_m + b^{-(m-2)} D_m) = 0$$

$$\cos m\theta (m b^{m-1} A_m - m b^{-(m+1)} B_m + (m+2) b^{m+1} C_m - (m-2) b^{-(m-1)} D_m) = 0$$

$$\begin{aligned} & (-D \cdot \cos m\theta) \cdot (m(m-1) a^{m-2} + \gamma \cdot m \cdot a^{m-2} - \gamma \cdot m^2 a^{m-2}) A_m + \\ & (-D \cdot \cos m\theta) \cdot (m(m+1) a^{-(m+2)} - \gamma \cdot m \cdot a^{-(m+2)} - \gamma \cdot m^2 a^{-(m+2)}) B_m + \\ & (-D \cdot \cos m\theta) \cdot (\gamma(m+2) a^m + (m+2)(m+1) a^m - \gamma \cdot m^2 a^m) C_m + \\ & (-D \cdot \cos m\theta) \cdot ((m-2)(m-1) a^{-m} - \gamma(m-2) a^{-m} - \gamma \cdot m^2 a^{-m}) D_m = 0 \end{aligned}$$

$$\begin{aligned} & \{(1 - \gamma) D \cdot m^2 \cos m\theta [m \cdot a^{m-3} - a^{m-3}] - \\ & D \cos m\theta [m(m-1)(m-2) a^{m-3} + m(m-2) a^{m-3} - m^2 \cdot (m-2) a^{m-3}]\} A_m + \\ & \{(1 - \gamma) D \cdot m^2 \cos m\theta [-m \cdot a^{-(m+3)} - a^{-(m+3)}] - \\ & D \cos m\theta [m(m+2) a^{-(m+3)} + m(m+2)(m+1) a^{-(m+3)} + m^2 \cdot (m+2) a^{-(m+3)}]\} B_m + \\ & \{(1 - \gamma) D \cdot m^2 \cos m\theta [(m+2) \cdot a^{(m-1)} - a^{(m-1)}] - \\ & D \cos m\theta [(m+2)(m+1) m a^{(m-1)} + m(m+2) a^{(m-1)} - m^3 \cdot a^{(m-1)}]\} C_m + \\ & \{(1 - \gamma) D \cdot m^2 \cos m\theta [-a^{-(m+1)} - (m-2) a^{-(m+1)}] - \\ & D \cos m\theta [-(m-1)(m-2) m a^{-(m+1)} + m(m-2) a^{-(m+1)} - m^3 \cdot a^{-(m+1)}]\} D_m + \\ & = \frac{F t z}{\pi \cdot a^2} (1 + \cos m\theta) \quad (2.1.9) \end{aligned}$$

จากสมการต่างๆ เหล่านี้จะพบว่าเป็นสมการที่แสดงถึงความสัมพันธ์ระหว่างค่าความโค้งงอของเพลทกับแรงที่มากระทำ โดยที่ค่าความโค้งงอนั้นจะได้จากขนาดความกว้างของร่องที่เซาะ ซึ่งก็คือ

ขนาดของร่องที่เซาะ = ความหนาของเพลท + ค่าความโค้งงอของเพลท (2.1.10)  
ซึ่งจะสัมพันธ์กับแรงที่กดลงบนแผ่นเพลท

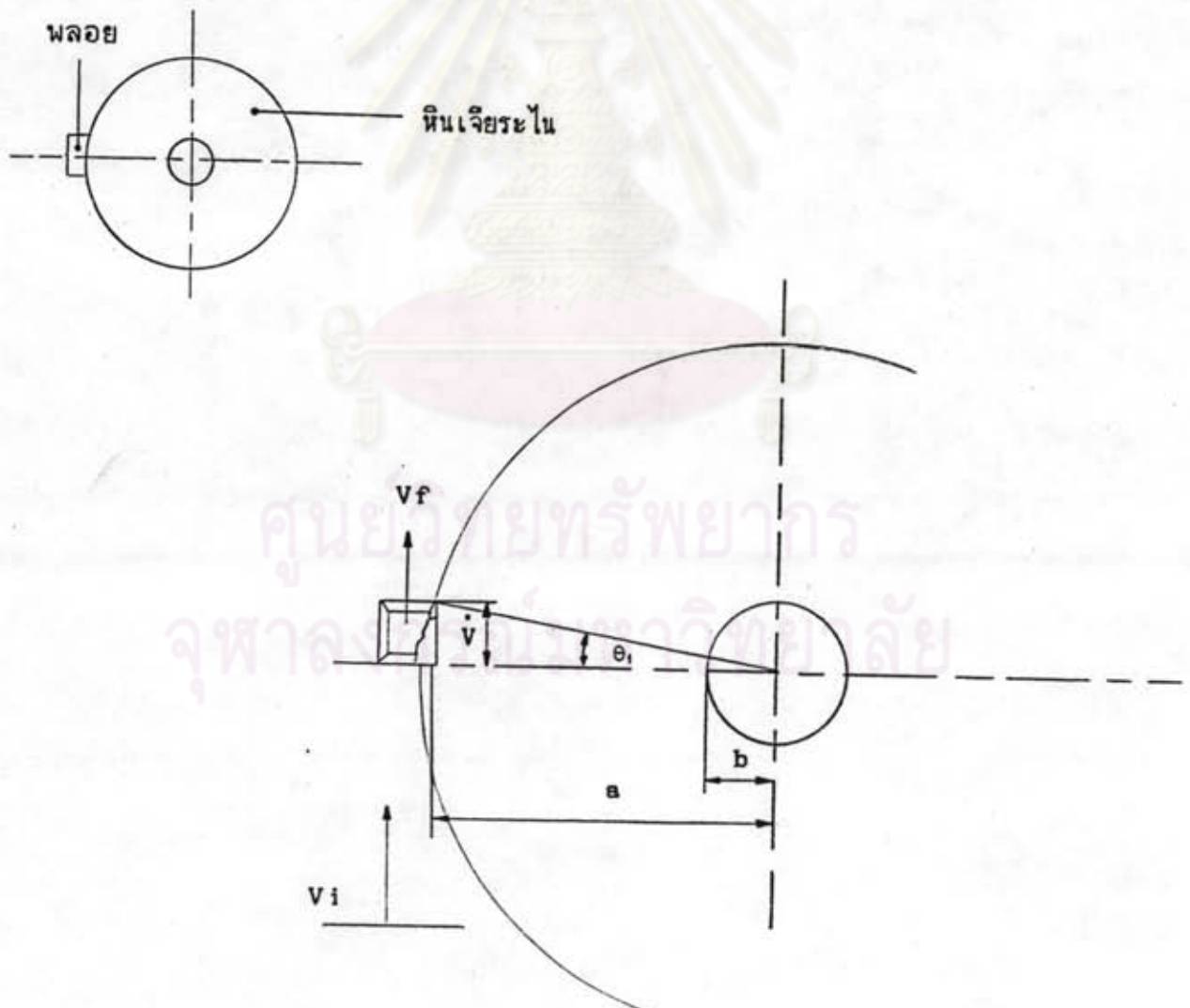
ในสมการต่าง ๆ เหล่านี้มีค่าตัวแปรต่าง ๆ ที่ต้องกำหนดลงไปในการสมการดังต่อไปนี้



- $v$  = อัตราส่วนผิวของ  
 $E$  = โมดูลัสยืดหยุ่น [ นิวตัน/มม.<sup>2</sup> ]  
 $h$  = ความหนาของเพลทหรือความหนาของหินเจียรไน [ เมตร ]  
 $a$  = รัศมีภายนอก [ เมตร ]  
 $b$  = รัศมีภายใน [ เมตร ]  
 $F_t z$  = แรงที่กระทำบนแผ่น เพลท [ นิวตัน ]

### 2.1.2 การวิเคราะห์กระบวนการในการเจียรไน (Analysis of the Grinding Process)

แรงที่กระทำบนเพลทจะถูกนำมาใช้ในการพิจารณาค่าความเร็วตัดที่ใช้ในการบ่อนชิ้นงานดังนี้



รูปที่ 2.3 ลักษณะของหินเจียรไนเมื่อเข้าตัดชิ้นงาน



ค่าพารามิเตอร์ต่าง ๆ ในรูปคือ

$V_i$  = ความเร็วบ่อนตัดของเครื่องจักร [เมตร/วินาที]

$V_f$  = ความเร็วตัด [เมตร/วินาที]

$V$  = ระยะทางที่สึกหรอของล้อยินเจียรไนในแนวตัดกับชิ้นงาน [เมตร]

$\dot{dt}/2$  = ความเร็วที่รัศมีล้อยินเจียรไนลดขนาดลง [เมตร/วินาที]

$dt$  = เส้นผ่านศูนย์กลางของล้อยินเจียรไน

$\dot{V}$  = ความเร็วที่ล้อยินเจียรไนลดขนาดลงในแนวตัด [เมตร/วินาที]

$\theta_1$  = มุมที่ใบมีดกระทำเข้าตัดชิ้นงาน

จากรูปสามารถที่จะเขียนความสัมพันธ์ของสมการได้ดังนี้

$$V_f = V_i - \dot{V} \quad (2.2.1)$$

แต่เราจะทำการสมมติให้สภาวะการตัดอยู่ในช่วงการตัดเฉือน (Boothroyd, 1977) ซึ่งจะทำให้ได้ค่าอัตราการตัดเนื้อโลหะที่สูง

จากรูป 2.2 จะพบว่า

$$\frac{\dot{dt} \cdot \sin \theta_1}{2} = \dot{V} \quad (2.2.2)$$

แทนค่าลงในสมการ (2.2.1) จะได้

$$V_f = V_i - \frac{\dot{dt} \cdot \sin \theta_1}{2} \quad (2.2.3)$$

จากการทดลองของ ฮัน และ ลินเซย์ (Hahn and Lindsey, quoted in Boothroyd, 1977) พบว่าอัตราการตัดเนื้อโลหะของชิ้นงาน ( $Z_w$ ) และ อัตราการหลุดไปของเนื้อหินเจียรไน ( $Z_t$ ) เมื่อเทียบกับแรงที่กระทำตั้งฉากกับหินเจียรไน ( $F_{tx}$ ) ภายในช่วงการตัดเฉือน ความสัมพันธ์ของ  $Z_w$  และ  $Z_t$  จะอยู่ในรูปของสมการเส้นตรง นั่นคือสามารถจะแสดงได้ในรูปของสมการ

$$Z_w = \lambda_w \cdot (F_{tx} - F_{tx0}) \quad (2.2.4.a)$$

$$Z_t = \lambda_t \cdot (F_{tx} - F_{tx0}) \quad (2.2.4.b)$$



เมื่อ  $F_{tx0}$  = แรงตัดเบื้องต้นสำหรับเริ่มสภาวะการตัดเฉือน

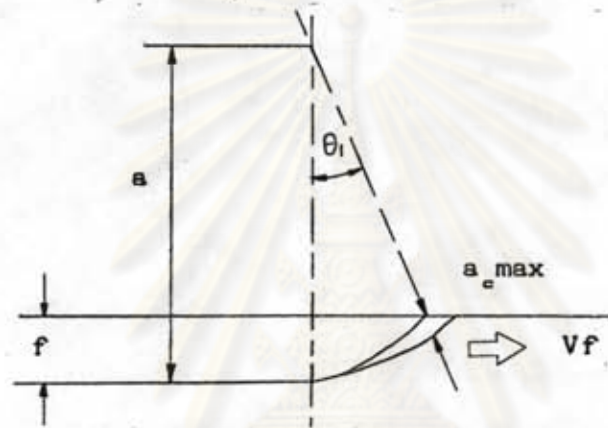
$F_{tx}$  = แรงที่กระทำในแนวรัศมีกับล้อหินเจียรระไน

$\Lambda_w$  = อัตราการสึกหรอของชิ้นงาน (metal removal parameter)

$\Lambda_c$  = อัตราการสึกหรอของล้อหินเจียรระไน  
(wheel removal parameter)

$Z_w$  = อัตราการตัดเนื้อโลหะของชิ้นงาน

$Z_t$  = อัตราการหลุดไปของเนื้อล้อหินเจียรระไน



รูปที่ 2.4 ลักษณะทางด้านข้างของล้อหินเจียรระไนเมื่อเข้าตัดชิ้นงาน

ค่าอัตราการตัดเนื้อโลหะของชิ้นงาน ( $Z_w$ ) ระหว่างการเจียรไนหาได้จาก

$$Z_w = f \cdot a_p \cdot Vf \quad (2.2.5)$$

เมื่อ  $f$  = ความลึกของการตัด [เมตร]

$a_p$  = ความกว้างของร่องที่ทำการเจียรระไน [เมตร]

$$Z_t = \frac{\pi \cdot dt \cdot a_p \cdot dt}{2} \quad (2.2.6)$$

แทนค่าลงในสมการที่ (2.2.4.a,b) จะได้

$$f \cdot a_p \cdot Vf = \Lambda_w \cdot (F_{tx} - F_{tx0}) \quad (2.2.7.a)$$

$$\frac{\pi \cdot dt \cdot a_p \cdot dt}{2} = \Lambda_c \cdot (F_{tx} - F_{tx0}) \quad (2.2.7.b)$$

นำสมการทั้ง 2 มารวมกันได้

$$\frac{f \cdot a_p \cdot V_f}{\pi \cdot dt \cdot a_p \cdot \dot{dt}} = \frac{\Lambda_w}{\Lambda_t} \quad (2.2.7.c)$$

แทนค่าสมการ (2.2.7.c) ลงไปในสมการที่ (2.2.3) จะได้

$$V_f = \frac{V_i}{1 + \frac{f \cdot \Lambda_t \cdot \sin \theta_1}{\pi \cdot dt \cdot \Lambda_w}} \quad (2.2.8)$$

จากสมการที่ (2.2.4.a) จะพบว่า

$$Z_w = \Lambda_w \cdot (F_{tx} - F_{tx0})$$

และจากสมการ (2.2.5)

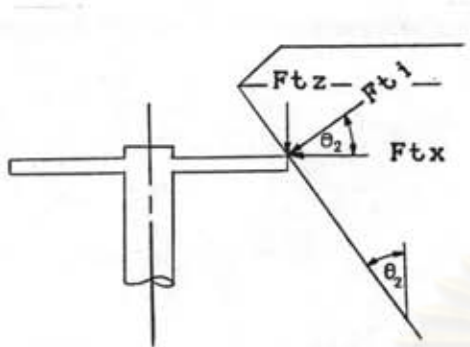
$$Z_w = f \cdot a_p \cdot V_f$$

จะได้

$$f \cdot a_p \cdot V_f = \Lambda_w \cdot (F_{tx} - F_{tx0}) \quad (2.2.9)$$

เมื่อ  $F_{tx} - F_{tx0}$  ก็คือ แรงที่กระทำตั้งฉาก ที่กระทำต่อลวดหินเจียรระโน้นเองซึ่ง จะทำการพิจารณาต่อไป

การพิจารณาการตัดในแนวตั้งฉาก



$F_{ti}$  = แรงที่กระทำกับชิ้นงาน (พลอย)

$F_{tx}$  = แรงที่กระทำในแนวรัศมีกับล้อนึงเฉียระไน

$F_{tz}$  = แรงที่กระทำในแนวตั้ง

$\theta_2$  = มุมเอียงของพลอย

รูปที่ 2.5 ทิศทางของแรงที่กระทำที่หินเฉียระไน

จากรูปที่ 2.5 จะเห็นว่าแรง  $F_{ti}$  แยกออกได้เป็น 2 ส่วนประกอบด้วยกันคือ

$$F_{tz} = F_{ti} \cdot \sin \theta_2 \quad (2.2.10.a)$$

$$F_{tx} = F_{ti} \cdot \cos \theta_2 \quad (2.2.10.b)$$

จากทฤษฎีของเพลทกำหนดไว้ว่า ถ้ารู้ค่าแรง  $F_{tz}$  แล้วก็จะหาค่าของค่าความโค้งงอของเพลทได้ หรือในทางกลับกัน ถ้ามีค่าความโค้งงอของเพลทตามที่ต้องการ ก็จะหาแรงที่มากกระทำต่อเพลท ( $F_{tz}$ ) ได้ ค่าความโค้งงอจะพิจารณาได้จาก

$$\text{ค่าความโค้งงอของเพลท} = \text{ขนาดของร่องที่เซาะ} - \text{ความหนาของเพลท} \quad (2.2.11)$$

จากสมการที่ (2.2.9) จะได้

$$f \cdot a_p \cdot V_f = \Lambda_w \cdot (F_{tx} - F_{txo})$$

เนื่องจากอณูมิติที่ทำการเซาะร่องมีขนาดเล็กมาก เมื่อเทียบกับล้อนึงเฉียระไนดังนั้น อาจจะสามารถให้  $F_{tx} - F_{txo} = F_{tx}$  เพราะจะทำให้ได้ค่า  $V_f$  สูงขึ้น ( $f, a_p, \Lambda_w$  คงที่) ทำให้การทำงานอยู่ในช่วงการตัดเฉียจริง



$$f \cdot a_p \cdot Vf = \wedge_w \cdot Ftx \quad (2.2.12)$$

ดังนั้นแทนค่าลงในสมการที่ (2.2.8) จะได้

$$Vi = \frac{\wedge_w \cdot Ftx}{a_p \cdot f} \left( 1 + \frac{f \cdot \wedge_w \cdot \sin \theta_1}{\pi \cdot dt \cdot \wedge_w} \right) \quad (2.2.13)$$

โดยที่ค่า  $Ftx$  ก็คือ แรงที่กระทำในแนวตั้งฉากกับทิศทางการตัด ซึ่งมีความสัมพันธ์กับค่า  $Ftz$  จากสมการที่ (2.2.10.a) และ (2.2.10.b) ดังนี้

$$Ftx = \frac{Ftz \cdot \cos \theta_2}{\sin \theta_2} \quad (2.2.14)$$

ค่า  $Ftz$  ก็คือค่าแรงที่ทำให้เพลทโค้งงอนั่นเอง ซึ่งจะพิจารณาได้จากความกว้างของร่องที่ทำการเจียรระไนที่วัดได้ แทนค่าลงในสมการ (2.2.11) ก็จะได้ค่าความโค้งงอของเพลท นั้นเอง หรือถ้ากำหนดค่าความโค้งงอของเพลท ก็จะหาแรง  $Ftz$  ที่กระทำต่อเพลทได้ ซึ่งเมื่อแทนค่ากลับลงในสมการที่ (2.2.13) จะหาค่า  $Vi$  ที่ใช้ในการเซาะร่องพลอยนั่นเอง

### 2.1.3 สรุปสมการที่ใช้ในการวิเคราะห์แรงกระทำและความเร็วบ่อนตัด

การวิเคราะห์ปัญหาการกระทำโดยการวัดขนาดของร่องที่เซาะ และความหนาของล้อยินเจียรระไน แทนค่าลงในสมการที่ (2.2.11) ดังต่อไปนี้

$$\text{ค่าความโค้งงอของเพลท} = \text{ขนาดของร่องที่เซาะ} - \text{ความหนาของเพลท} \quad (2.2.11)$$

เมื่อได้ค่าความโค้งงอ ( $w$ ) แล้ว จะเห็นได้ว่าค่าความโค้งงอของเพลทสัมพันธ์กับแรงที่กระทำกับเพลท ขณะเข้าตัดเม็ดพลอย โดยมีสมการที่ (2.1.3) ใช้สำหรับหาค่าความโค้งงอของเพลท

$$w = R_0 + \sum_{m=1}^{\infty} R_m \cdot \cos(m) \quad (2.1.3)$$

โดยที่คำตอบของสมการที่ (2.1.3) จะอยู่ในรูปของอนุกรมฟูเรียร์

$$R_0 = A_0 + B_0 \cdot r^2 + C_0 \cdot \log r + D_0 \cdot r^2 \cdot \log r \quad (2.1.4)$$

$$R_1 = A_1 \cdot r + B_1 \cdot r^3 + C_1 r^{-1} + D_1 \cdot r \cdot \log r \quad (2.1.5)$$

$$R_m = A_m \cdot r^m + B_m \cdot r^{-m} + C_m \cdot r^{m+2} + D_m \cdot r^{-m+2} \quad (2.1.6)$$

โดยที่ค่าคงที่  $A_0, B_0, C_0, D_0$  ของสมการที่ 2.1.4 หาได้จากสมการที่ (2.1.7)

ค่าคงที่  $A_1, B_1, C_1, D_1$  ของสมการที่ 2.1.5 หาได้จากสมการที่ (2.1.8)

ค่าคงที่  $A_m, B_m, C_m, D_m$  ของสมการที่ 2.1.6 หาได้จากสมการที่ (2.1.9)

ซึ่งสมการเหล่านี้ สามารถแก้ได้โดยวิธีการทางคณิตศาสตร์ของเกาส์ ซึ่งเมื่อได้ค่าคงที่ต่างๆเหล่านี้ ก็แทนค่าลงในสมการแล้ว ก็จะได้ค่า  $R_0, R_1$  และ  $R_m$  ได้ และแทนค่ากลับลงในสมการที่ (2.1.3) ก็จะได้ค่าความโค้งงอ ( $w$ ) ตามที่ต้องการ ในการคำนวณจริงจะทำการแทนค่าของ  $F_{tz}$  ไปเรื่อยๆ จนกระทั่งได้ค่าความโค้งงอ ( $w$ ) ใกล้เคียงกับค่าที่ต้องการ ก็จะใช้ค่าของ  $F_{tz}$  ค่านั้น

ส่วนแรงที่กระทำกับเพลท สัมพันธ์กับค่า  $V_i$  ของเครื่องจักรตามสมการที่(2.2.13)

$$V_i = \frac{\Lambda_w \cdot F_{tx}}{a_p \cdot f} \left( 1 + \frac{f \cdot \Lambda_c \cdot \sin \theta_1}{\pi \cdot dt \cdot \Lambda_w} \right) \quad (2.2.13)$$

โดยที่ค่า  $F_{tx}$  ก็คือ แรงที่กระทำในแนวตั้งฉากกับทิศทางการตัด ซึ่งมีความสัมพันธ์กับค่า  $F_{tz}$  จากสมการที่ (2.2.10.a) และ (2.2.10.b) ดังนี้

$$F_{tx} = \frac{F_{tz} \cdot \cos \theta_2}{\sin \theta_2} \quad (2.2.14)$$

ค่าพารามิเตอร์ ต่าง ๆ ที่ใช้ในสมการ (2.2.13) มีดังนี้

- $v_i$  = ความเร็วบ่อนัตตของเครื่องจักร [ เมตร/วินาที ]
- $\theta_1$  = มุมที่ใบมีดเข้าตัดชิ้นงาน
- $dt$  = เส้นผ่าศูนย์กลางของล้อหินเจียรไน [ เมตร ]
- $f$  = ความลึกในการตัด [ เมตร ]
- $a_p$  = ความกว้างของร่องหินเจียรไน [ เมตร ]
- $\theta_2$  = มุมเอียงของพลอย

จากสมการที่ (2.2.13) ก็จะได้ค่า  $v_i$  สำหรับใช้ในการออกแบบเครื่องจักร

#### 2.1.4 การหาค่าพารามิเตอร์ต่าง ๆ ที่ใช้ในสมการสำหรับการเจียรไนพลอย

(metal and wheel removal parameter for grinding ruby and sapphire)

สำหรับเหล็กเครื่องมือ เหล็กอบสูง คาร์ไบด์ หินอัญมณี (gemstone) ถูกกำหนดให้เป็นวัสดุที่ทำการเจียรไนยาก (difficult to grind material) ซึ่งยังไม่สามารถหาสมการ empirical มาใช้แทนค่าได้ แต่จากข้อแนะนำของ ฮัน และ ลินเชย์ ได้แนะนำค่า  $\lambda_w$  (metal removal parameter) ต่างๆ เหล่านี้ไว้เป็นตารางสำหรับวัสดุที่ทำการเจียรไนยาก ดังต่อไปนี้

จุฬาลงกรณ์มหาวิทยาลัย



material description		metal removal parameter $\Lambda_w$ นิ้ว <sup>3</sup> /นาทีปอนด์ ฟิโคเมตร <sup>3</sup> /วินาทีนิ้วตัน	
T - 15	High-speed steel, tungsten type	0.00015-0.0015	9-90
M - 2	High-speed steel, molydenum type	0.0004-0.0011	25-70
Inconel X	Nickel alloy	0.0006-0.0025	37-150
M - 4	High-speed steel	0.0002-0.002	12-120
M - 5	High-speed steel	0.0019-0.0045	120-280

ตารางที่ 2.1 ค่าโดยประมาณของ  $\Lambda_w$  สำหรับวัสดุที่ทำการเจียรระโนยาก

ตัวเลขค่าต่ำสำหรับ วัสดุที่ใช้แรงตัด ต่อกว้างของเศษ  $Ft/a_w$  ต่ำ และค่ามากสำหรับวัสดุที่ต้องการ  $Ft/a_w$  สูง

สำหรับวัสดุที่จะทำการเจาะร่องนั้นเป็นอัญมณี (gemstone) ซึ่งเป็นพลอยสีน้ำเงินหรือสีแดงซึ่งมีชื่อเรียกว่า ไพลินและทับทิมตามลำดับ เป็นหินประเภทคอรัันดัม (Arem, 1975) ซึ่งเป็นชนิดหนึ่งของหินอัญมณีประเภท precious gemstone ซึ่งประกอบไปด้วย

- |                |                  |                |
|----------------|------------------|----------------|
| 1. Diamond     | 9. Tourmaline    | 17. Turquoise  |
| 2. Beryl       | 10. Feldspars    | 18. Decorative |
| 3. Corundum    | 11. Pearl        | stone          |
| 4. Garnet      | 12. Organic Gems | 19. Spinel     |
| 5. Quartz Gems | 13. Spadumene    | 20. Zircon     |
| 6. Opal        | 14. Chrysaberyl  |                |
| 7. Tapaz       | 15. Peridot      |                |
| 8. Jade        | 16. Lapis Lazuli |                |

ความแข็งนั้นกำหนดโดย โมห์สเกล (Mohr's scale) (Arem, 1975) สำหรับสินแร่ต่างๆที่มีในโลกแบ่งออกได้ดังนี้ ค่าตัวเลขบอกถึงความแข็ง หมายเลข 10 คือเพชรซึ่งมีความแข็งมากที่สุด

- |             |               |
|-------------|---------------|
| 1. Talc     | 6. Orthoclase |
| 2. Gypsum   | 7. Quartz     |
| 3. Calcite  | 8. Topaz      |
| 4. Fluorite | 9. Corundum   |
| 5. Apatite  | 10. Diamond   |

คอรัันดัม (corundum) นั้นมีค่าความแข็งตามโมห์สเกลเท่ากับ 9 จึงจะใช้ค่าความแข็งของคอรัันดัมนี้เป็นสิ่งสำคัญในการเปรียบเทียบและพิจารณาหาค่า  $\Lambda_w$  จากตารางของ Engineering Handbook (Mantell, 1958) จะพบว่า วัสดุ T-15 (High-speed steel tungsten type) มีคุณสมบัติความแข็ง 67 Rc ซึ่งจากตาราง Approximate hardness relation for steel (Davis, 1964) Table 7.7 ความแข็ง 67 Rc จะมีความแข็งตามโมห์สเกล โดยประมาณเท่ากับ 9 เช่นเดียวกับคอรัันดัม ดังนั้นจะประมาณให้ใช้ค่าพารามิเตอร์  $\Lambda_w$  สำหรับ T-15 แทนของคอรัันดัม ทั้งนี้เพื่อเพื่อไว้ในแง่ของความปลอดภัย โดยจะให้ค่า

$$\text{คอรัันดัม ค่า } \Lambda_w = 9 - 90 \text{ พิกัดเมตร}^3/\text{วินาทีนิ้วตัน}$$

สำหรับค่า  $\Lambda_w/\Lambda_c$  สำหรับวัสดุที่ทำการเจียรระไนยากจะได้

$$\Lambda_w/\Lambda_c = 3.0 \text{ (Boothroyd, 1977)}$$

## 2.2 ผลการวิเคราะห์ปัญหาด้วยสมการคณิตศาสตร์

ค่าพารามิเตอร์ที่วัดจากล้อหินเจียรระไน

h	=	0.15	มม.
a	=	11.2	มม.
b	=	2.5	มม.
dt	=	22.4	มม.

ค่าพารามิเตอร์ที่วัดจากเม็ดพลอย โดยเลือกขนาดที่ใช้ในการคำนวณครั้งนี้ จากเม็ดพลอยรูปร่างสี่เหลี่ยมจัตุรัสขนาดประมาณ 2 - 3 มม. สูงประมาณ 1.3 มม. ผลปรากฏดังต่อไปนี้

$f = 0.2 - 0.3$  มม. (ค่า  $f$  นี้วัดจากพลอยหลายๆ เม็ดที่ใช้ในการฝังจริงได้ และหลายขนาดระหว่าง 2 - 3 มม. ซึ่งเป็นขนาดที่ใช้งานจริง)

$$\theta_2 = 45 \quad (\text{สำหรับรูปที่ไม่เป็นสี่เหลี่ยมจัตุรัส มุมจะมากกว่านี้})$$

$$a_p = 0.25 - 0.30 \text{ มม. (พลอยขนาด 2 - 3 มม.)}$$

ค่าคงที่ต่าง ๆ ที่จะใช้ในสมการมีดังต่อไปนี้

$$E = 200 \times 10^9 \quad \text{นิวตัน/เมตร}^2 \quad (\text{สำหรับ เหล็ก})$$

$$\nu = 0.3 \quad "$$

เนื่องจากขนาดของพลอย มีตั้งแต่ 2 - 3 มม. ทำให้สามารถคำนวณค่า  $\theta_1$ ,  $f$ ,  $\theta_2$  เป็นช่วง

พลอยขนาด 2 มม.

กำหนดความกว้างของร่องที่ต้องการเจาะ = 0.25 มม.

$$\begin{aligned} \text{ค่าความโค้งงอของเพลท} &= \text{ขนาดของร่องที่เจาะ} - \text{ความหนาของเพลท} \\ &= 0.25 - 0.15 \\ &= 0.1 \text{ มม.} \end{aligned}$$

จากสมการของเพลท (2.1.3), (2.1.7), (2.1.8) และ (2.1.9) นำค่าพารามิเตอร์ต่าง ๆ แทนค่าลงในสมการ เพื่อที่จะหาค่าความโค้งงอที่เกิดขึ้น ผลการคำนวณที่ได้ปรากฏอยู่ในตารางภาคผนวก ข. โดยใช้เทอมที่เป็นผลรวมตามสมการที่ (2.1.3) 12 เทอม ซึ่งปรากฏว่าเมื่อให้ค่า  $Ftz = 0.341$  นิวตัน จะมีค่าความโค้งงอ = 0.1 มม. ซึ่งเมื่อรวมกับความกว้างของเพลท จะเป็นระยะความกว้างของร่องเท่ากับ 0.25 มม. ที่สามารถใช้งานได้จริง ค่าความโค้งงอที่วัดได้นี้กระทำที่  $\theta_1 = 0$  สำหรับ  $\theta_1$  ที่ค่าต่างๆ ของเพลทเมื่อ  $Ftz = 0.341$  นิวตัน ได้แสดงไว้ในกราฟรูปที่ 2.6

ค่า  $f = 0.2$  มม.

ค่า  $\theta_2$  แปรผันจาก  $45^\circ - 60^\circ$  ขึ้นอยู่กับชนิดและรูปร่างของพลอย

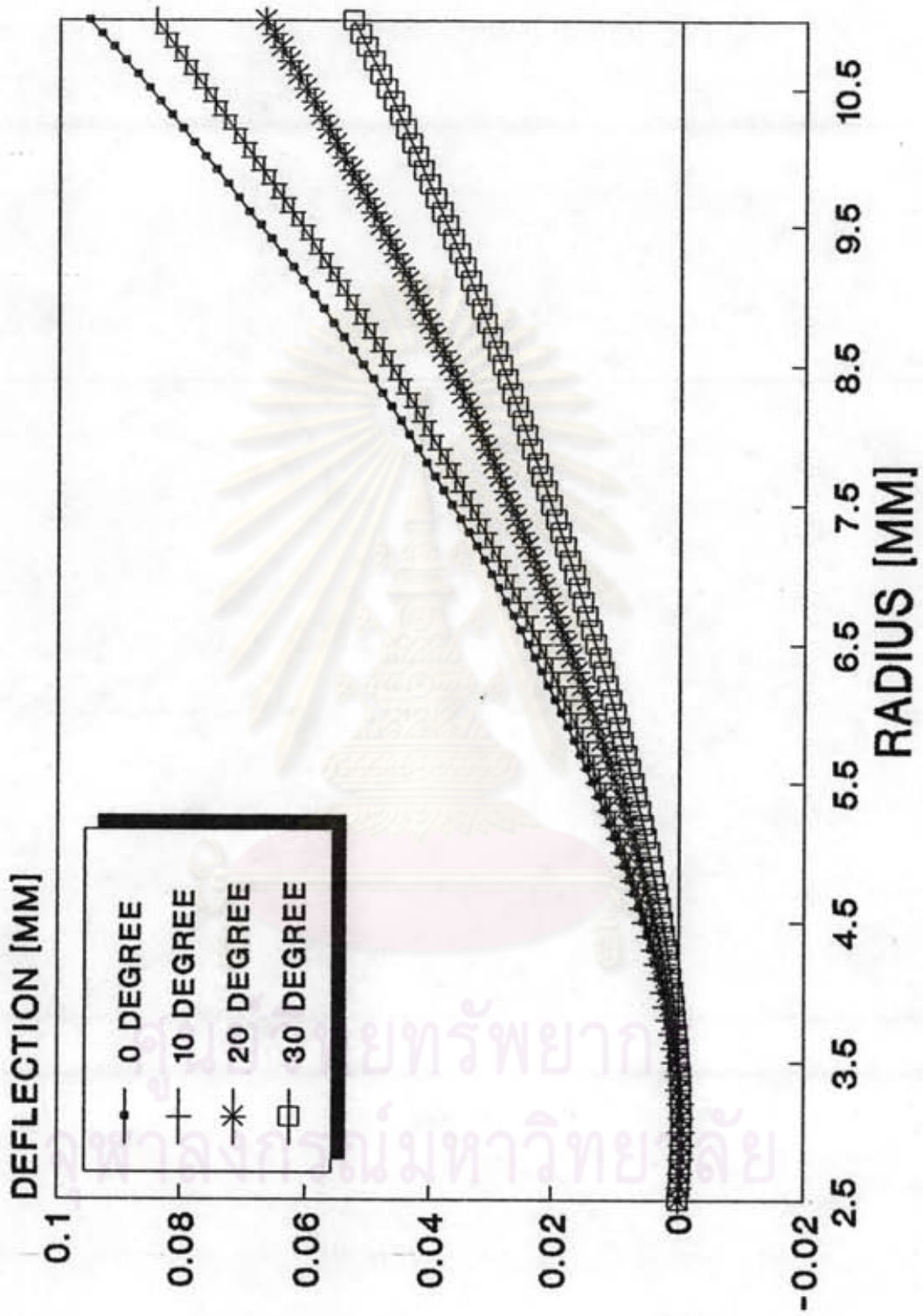
นำค่า พารามิเตอร์ ต่างๆ ที่ได้จากหัวข้อ 2.1.3 ซึ่งได้แก่

คอรัลด์ม ค่า  $\lambda_w = 9 - 90$  นิโคเมตร<sup>3</sup>/วินาทีนิวตัน

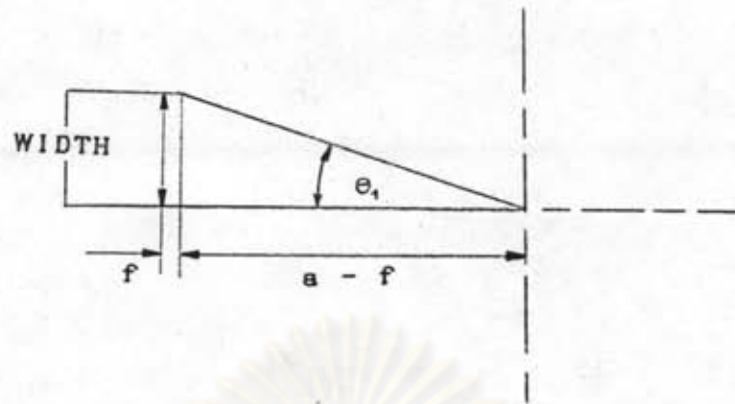
สำหรับค่า  $\lambda_w/\lambda_c$  สำหรับ วัสดุที่ทำการเจียรระโนยาก จะมีค่าเท่ากับ



# DEFLECTION OF GRINDING WHEEL



รูปที่ 2.6 แสดงค่าความโค้งของล้อหินเจียรในมุมต่าง ๆ กัน



$$\frac{\lambda_w}{\lambda_t} = 3.0$$

พลอยขนาด 2 มม.

$$f = 0.2 \text{ มม.}$$

$$\text{ที่ } \theta_2 = 45^\circ - 60^\circ$$

$$\begin{aligned} \theta_1 &= \tan^{-1} 2.0/11.2 \\ &= 10.26^\circ \end{aligned}$$

$$\begin{aligned} \theta_2 = 45^\circ ; \quad F_{tx} &= 0.341 \cdot \cos 45^\circ / \sin 45^\circ \\ &= 0.341 \text{ นิวตัน} \end{aligned}$$

$$\begin{aligned} \theta_2 = 60^\circ ; \quad F_{tx} &= 0.341 \cdot \cos 60^\circ / \sin 60^\circ \\ &= 0.197 \text{ นิวตัน} \end{aligned}$$

$$\text{ที่ } \theta_2 = 45^\circ$$

$$\lambda_w = 9 \text{ พิโคเมตร}^3/\text{วินาทีนิวตัน} \text{ แทนค่าในสมการที่ (2.2.13)}$$

$$\begin{aligned} V_1 &= \frac{10^6 * 9 * 0.341 (1 + 0.2 * \sin 10.26)}{10^{12} * 0.18 * 0.2 \quad \pi * 22.4 * 3} \\ &= 0.1023 * 10^{-3} \text{ เมตร/วินาที} \\ &= 0.1023 \text{ มม./วินาที} \end{aligned}$$

$$\lambda_w = 90 \text{ พิโคเมตร}^3/\text{วินาทีนิวตัน}$$

$$V_1 = 1.023 \text{ มม./วินาที}$$

$$\text{ที่ } \theta_2 = 60^\circ$$

$$\lambda_w = 9 \text{ พิโคเมตร}^3/\text{วินาทีนิวตัน} \text{ แทนค่าในสมการที่ (2.2.13)}$$

$$\begin{aligned}
 V_1 &= \frac{10^5 * 9 * 0.197 (1 + 0.2 * \sin 10.26)}{10^{12} * 0.18 * 0.2 \quad \pi * 22.4 * 3} \\
 &= 0.059 * 10^{-3} \quad \text{เมตร/วินาที} \\
 &= 0.059 \quad \text{มิลลิเมตร/วินาที}
 \end{aligned}$$



$$\begin{aligned}
 \omega &= 90 \quad \text{ฟิโคเมตร}^3/\text{วินาทีนิ้วตัน} \\
 V_1 &= 0.59 \quad \text{มม./วินาที}
 \end{aligned}$$

ทำการคำนวณแบบเดิม กับพลอยขนาด 3 มม. โดยมีค่าพารามิเตอร์เปลี่ยนไป จะได้ค่าต่าง ๆ ดังต่อไปนี้

พลอยขนาด 2 มม.  $\theta_2 = 45^\circ$  ค่า  $V_i = 0.10 - 1.02$  มม./วินาที

$\theta_2 = 60^\circ$  ค่า  $V_i = 0.05 - 0.59$  มม./วินาที

พลอยขนาด 3 มม.  $\theta_2 = 45^\circ$  ค่า  $V_i = 0.06 - 0.68$  มม./วินาที

$\theta_2 = 60^\circ$  ค่า  $V_i = 0.03 - 0.39$  มม./วินาที

จะเห็นว่าที่พลอยขนาด 2 มม. ค่า  $V_i$  ที่ใช้ร่วมกันได้จะอยู่ที่

$$V_i = 0.10 - 0.59 \quad \text{มม./วินาที}$$

และที่พลอยขนาด 3 มม. ค่า  $V_i$  ที่ใช้ร่วมกันได้จะอยู่ที่

$$V_i = 0.06 - 0.39 \quad \text{มม./วินาที}$$

ดังนั้นถ้าจะทำการเจียรระไนอัญมณีตั้งแต่ขนาด 2 - 3 มม. ที่  $\theta_2 = 45^\circ - 60^\circ$  แล้ว ค่า  $V_i$  ควรจะอยู่ที่

$$V_i = 0.10 - 0.39 \quad \text{มม./วินาที}$$

$$= 0.1 - 0.4 \quad \text{มม./วินาที}$$

### 2.3 ค่าความเร็วรอบและกำลังที่ใช้ในการตัดด้วยหินเจียรระไน

นอกจากค่า  $V_i$  แล้ว ในการออกแบบเครื่องเซาะร่องเม็ดพลอยจำเป็นต้องรู้ถึงค่าความเร็วรอบและกำลังที่ใช้ในการขับล้อหินเจียรระไนด้วยเพื่อที่จะนำมาประกอบในการออกแบบ สำหรับล้อหินเจียรระไนแบบเพชรบริษัท NORTON (Norton product information, 1978) ผู้ผลิตได้กำหนดค่าความเร็วตัดสำหรับ bond ต่าง ๆ ดังต่อไปนี้



resinoid bond , dry grinding	12 - 20	เมตร/วินาที
resinoid bond , wet grinding	20 - 30	เมตร/วินาที
metal bond , wet grinding	15 - 20	เมตร/วินาที
vitrifried bond , wet grinding	25 - 30	เมตร/วินาที

โดยความเร็วรอบที่ใช้ (n) คือ

$$n = \frac{V \cdot 1000 \cdot 60}{\pi \cdot d} \quad (2.3.1)$$

เมื่อ V = ความเร็วตัด [เมตร/วินาที]  
 d = เส้นผ่านศูนย์กลางของล้อหินเจียรไน [มม.]  
 n = ความเร็วรอบ [รอบ/นาที]

จากคู่มือของบริษัท NORTON จะเห็นว่า resinoid bond เหมาะที่ใช้กับ dry และ wet grinding โดยเฉพาะแบบ 1A1 (Norton product information, 1978) ซึ่งเป็นแบบที่ใกล้เคียงกับแบบที่ใช้งานตามการสำรวจ มักจะใช้ bond เป็นแบบ resinoid ดังนั้น ถ้าการเจียรไนเป็นแบบ dry grinding ที่มีค่าความเร็วตัดเท่ากับ 12 - 20 เมตร/วินาทีจะได้ค่าความเร็วรอบดังนี้ โดยที่ใช้ล้อหินเจียรไนที่มีเส้นผ่านศูนย์กลางเท่ากับ 22.4 มม.

$$\begin{aligned} n_{12} &= \frac{12 \cdot 1000 \cdot 60}{\pi \cdot 22.4} \\ &\approx 10,230 \quad [\text{รอบ/นาที}] \end{aligned}$$

$$\begin{aligned} n_{20} &= \frac{20 \cdot 1000 \cdot 60}{\pi \cdot 22.4} \\ &\approx 17000 \quad [\text{รอบ/นาที}] \end{aligned}$$

ค่าความเร็วรอบสูงสุดของล้อหินเจียรไน ถูกระบุไว้ว่าไม่ควรเกิน 15,000 รอบ/นาที ดังนั้น ช่วงการใช้งานจะกำหนดให้อยู่ในช่วง

$$n = 10,000 - 15,000 \quad \text{รอบ/นาที}$$



กำลังที่ใช้ขับ ( $P_m$ ) หาได้จาก (Boothroyd, 1977)

$$P_m = P_s \cdot Z_w \quad (2.3.2)$$

เมื่อ  $P_s$  = พลังงานที่ใช้ในการตัด (Specific cutting energy)

$Z_w$  = อัตราการเข้าตัดโลหะ (Metal removal rate)

สำหรับการเจียรในโดยทั่วไปแล้ว ค่าความกว้างของเศษโดยเฉลี่ยจะมีค่า  $a_{cuv} = 0.013$  มม. (Boothroyd, 1977) ดังนั้นจากความสัมพันธ์ในรูปที่ 2.7 ได้ค่าของ  $P_s = 20$  จิกะจูล/เมตร<sup>3</sup> โดยเลือกเอาค่าของเหล็กอัลลอยซึ่งถือว่ามีความแข็งมากที่สุดในกลุ่ม และใกล้เคียงกับคอรันดัมมากที่สุดจากสมการที่ 2.2.12

$$Z_w = \hat{v}_w \cdot F_{tx} \quad (2.2.12)$$

แต่ค่า  $F_{tx} = F_{tz} \cdot \cos\theta_2 / \sin\theta_2$

ใช้ค่า  $\theta_2 = 45^\circ$  (ใช้ค่ามากที่สุด)

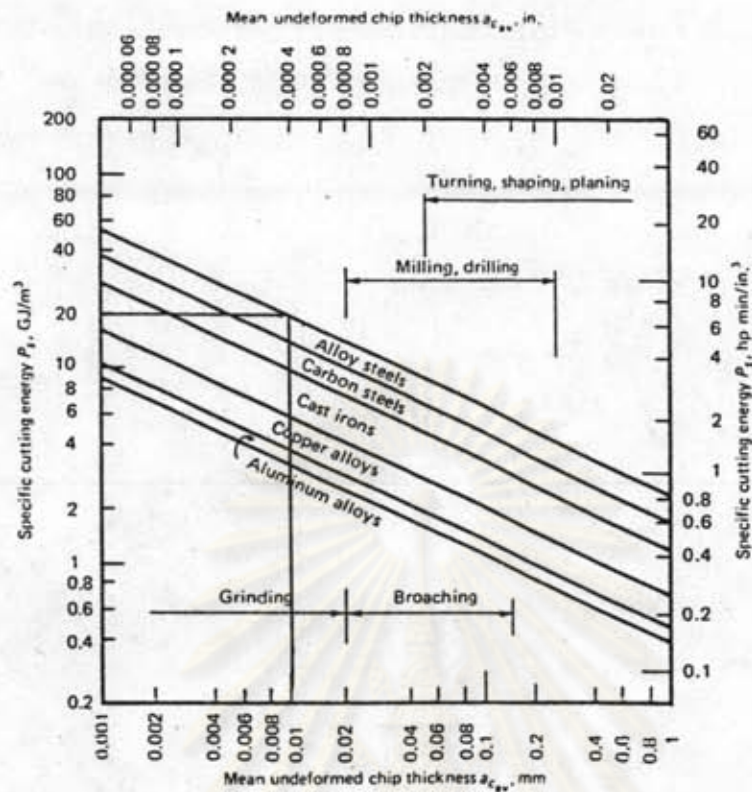
$$F_{tx} = 0.341 \text{ นิวตัน}$$

$$\hat{v}_w = 9 \text{ ถึง } 90 \text{ ฟุต/วินาที}$$

$$Z_w = 0.003 \times 10^{-3} \text{ ถึง } 0.03 \times 10^{-3} \text{ เมตร}^3/\text{วินาที}$$

$$P_m = 0.06 \text{ ถึง } 0.6 \text{ วัตต์}$$

ดังนั้นจึงอาจจะประมาณได้ว่า มอเตอร์ที่ใช้ขับอย่างน้อยที่สุดควรจะมีขนาดกำลังที่ใช้ในการตัด = 0.06 - 0.6 วัตต์



รูปที่ 2.6 พลังงานที่ใช้ในการตัดโลหะ

#### 2.4 สรุปรายละเอียดต่างๆ ที่ใช้ในการออกแบบเครื่องจักร

เครื่องจักรที่จะสร้างขึ้นเพื่อใช้งานได้กับอุณหภูมิที่มีขนาดตั้งแต่ 2 - 3 มม. จะมีรายละเอียดต่างๆ ดังนี้

กำลังที่ต้องการ	= 0.06 - 0.6 วัตต์
ความเร็วป้อนตัดของเครื่องจักร	= 0.1 - 0.4 มม./วินาที
ความเร็วรอบ (n)	= 10,000 - 15,000 รอบ/นาที

จุฬาลงกรณ์มหาวิทยาลัย